

EPDM/PP/Ionomer 삼원 블렌드로 된 열가소성 가황체의 파괴 인성

김 영 규 · 조 원 제 · 하 창 식 · 고 진 환*
부산대학교 고분자공학과, *(주)금호타이어 연구소

Fracture Toughness of the Thermoplastic Vulcanizates from EPDM/PP/Ionomer Ternary Blends

Y. Kim, W. J. Cho, C. S. HA and J. H. Go*

Dept. of Polymer Science and Engineer, Pusan National University Pusan 609-735, Korea

*Research Center, Kumho Co., LTD., Kwangju 506-040, Korea

ABSTRACT

The fracture mechanics investigation of the thermoplastic vulcanizates(TPV) from EPDM and PP/Ionomer ternary blends was performed in terms of the J-integral by measuring fracture energy via the locus method.

The TPV from ternary blends consisting of EPDM, PP and ionomer were prepared in a laboratory integral mixer by blending and vulcanizing simultaneously. Vulcanization was performed with dicumyl peroxide (DCP) and the composition of EPDM and PP was fixed at 50/50 by weight. Two kinds of poly(ethylene-co-methacrylic acid)(EMA) Ionomers were used. The J-integral values at crack initiation, J_c , of the dynamically vulcanized EPDM and PP/EMA Ionomer ternary blends were affected by the cation types (Na^+ or Zn^{2+}) and contents(5-20wt%) of the added EMA Ionomers. The ternary blend containing 20wt% zinc-neutralized EMA ionomer and 1.0phr DCP showed the highest J_c values of the blends.

I. 서 론

고분자의 파괴 인성 특성은 금속 특성 고찰에 뒤이어 연구 되었다. 그러므로 선형 탄성 파괴 역학 해명은 연성이나 인성 고분자에서는 잘 일치하지 않아 파

괴 인성 특성은 Rice, Bagley 및 Landes¹⁻³⁾에 의해 소개된 J-integral 개념을 적용하게 되었다.

ASTM 규격에 의하면 J-integral 특성은 크랙 초기의 J 값 즉, J_{int} 를 고유 파괴 인성 값으로 정의한다. 방법론적으로는 논쟁의 여지가 있지만 연성이나

* 본 논문은 The 6th International Seminar on Elastomer에서 발표한 논문의 일부임

내충격성 고분자의 Jint를 얻기 위한 많은 노력이 시도되고 있다.

본 연구의 목적은 변형이 큰 재료에 대하여 Kim과 Joe^{4,5)} 그리고 본 논문 저자에 의하여 증명된⁶⁾ 궤적법을 이용한 J-integral을 적용하여 EPDM/PP/Ionomer 삼원 블렌드로 된 열가소성 가황체(thermoplastic vulcanizates : TPV)의 파괴 인성을 연구하는 데 있다.

한편 고무 성분을 전단력 하에서 동적으로 가황시키면서 플라스틱 성분과 블렌딩을 동시에 수행하면 열가소성 가황체를 얻을 수 있다. 열가소성 탄성체는 비록 가황 고무를 한 성분으로 가지지만 동적 가황 특성으로 인해 열가소성을 가지기 때문에 언제든지 후가공이 가능하게 된다.

또한 물리적 특성은 우수하면서도 압출이나 사출 성형과 같은 가공성의 큰 장점이 있어 열가소성 올레핀(thermoplastic olefin : TPO) 개발에도 많이 응용되고 있다.^{7,8)} 본 연구에 사용한 기법은 단순한 single-edge notched(SEN) 인장 시편을 이용하여 하중-변형 기록에 의한 크랙 발생 지점 궤도를 구한 방법을 사용하였다.

특히 EPDM과 PP 블렌드 TPV에서 Ionomer 첨가가 파괴 거동에 미치는 영향을 분석하였다.

II. 실험

1. 재료

본 연구에 사용한 polypropylene(PP)은 대한 유화제품인 PP 4017을 사용하였다. ethylene-propylene-diene-terpolymer(EPDM)은 ethylidene-2-norbornene(ENB)계의 Uniroyal 제품의 Royalene 521을 사용하였다(중량평균 분자량 $M_w = 1.8 \times 10^5$; Ethylene 함량 : 52%). 두 종류의 Poly(ethylene-co-methacrylic acid) (EMA) 이오노머는 Du Pont 제품을 사용하였는데, acid content, 중화도 등은 같으나 중화금속의 종류가(Na^+ 와 Zn^+) 다르다. 사용한

Table 1. Material and their characteristics

Material	Properties	Source
PP	$M_n = 2.83 \times 10^4$ $M_w = 2.02 \times 10^5$ $MFI^a = 6.0$ $M_w/M_n = 7.14$	Korea Petrochemical CO. LTD.(PP 4017)
EPDM	$\eta_{inh}(\text{dl g}^{-1})^b = 1.22$ I.V. ^c = 15.2 PE/PP(mol %) ^d = 52.0/48.0 ENB type	Uniroyal (Roy.521)
Ionomer A	Cation types : Na^+ Ethylene/Methacrylic Acid = 91/9 % Neutralization : 50% Sp. gr = 0.94 $MFI^a = 1.1$	Du Pont (Surlyn 9520)
DCP	Granule types	Mitsui Chemical Co.

^a Melt flow index

^b 0.5 gdl-1 xylene solution at 70°C

^c by the ICL titration method

^d by IR analysis

재료들의 특성을 Table 1에 나타내었다.

이오노머는 진공 상태에서 63°C, 76시간 건조하여 사용하였고, 고무는 별도 처리없이 입수된 재료를 사용하였다. 가황 조건은 dicumyl peroxide(DCP)로 0.33, 1.0phr 두 종류를 적용하였다. Brabender Roller Mixer(Types w50H)를 이용하여 EPDM/PP 이원 블렌드와 EPDM/PP/Ionomer 삼원 블렌드를 하였다. 블렌드 제조에 대한 상세사항은 다른 문헌에 별도 기술하였다.⁹⁾ 블렌드에서 PP와 EPDM의 조성은 중량비로 50/50으로 하였다. 블렌드에 대한 표기는 Table 2에 정리하였다.

2. 파괴 에너지 결정

파괴 인성 측정에는 여러 종류 시료의 configurations이 가능하다. 본 연구에서는 압축 몰드 사이트로 동일 길이를 유지하는 single-edge-notched(SEN) 인장 시편을 사용하였다. 시료의 두께와 폭은 1.0mm, 20mm이고 그립 사이의 길이는 60.0mm를 유지하였다. 칼로 날카로운 초기 크랙을 만들기 위해 사용하

Table 2. Sample notations

Notation	PP contents (wt%)	EPDM contents (wt%)	Ionomer contents (wt%)	DCP (p.h.r)
PP50-0.33DEP50	50.0	50.0	0.0	0.33
PP50-0.33DEP50/IA5	47.5	47.5	5.0	0.33
PP50-0.33DEP50/IA10	45.0	45.0	10.0	0.33
PP50-0.33DEP50/IA15	42.5	42.5	15.0	0.33
PP50-0.33DEP50/IA20	40.0	40.0	20.0	0.33
PP50-0.33DEP50/IB5	47.5	47.5	5.0	0.33
PP50-0.33DEP50/IB10	45.0	45.0	10.0	0.33
PP50-0.33DEP50/IB15	42.5	42.5	15.0	0.33
PP50-0.33DEP50/IB20	40.0	40.0	20.0	0.33
PP50-1.0DEP50	50.0	50.0	0.0	1.00
PP50-1.0DEP50/IA5	47.5	47.5	5.0	1.00
PP50-1.0DEP50/IA10	45.0	45.0	10.0	1.00
PP50-1.0DEP50/IA15	42.5	42.5	15.0	1.00
PP50-1.0DEP50/IA20	40.0	40.0	20.0	1.00
PP50-1.0DEP50/IB5	47.5	47.5	5.0	1.00
PP50-1.0DEP50/IB10	45.0	45.0	10.0	1.00
PP50-1.0DEP50/IB15	42.5	42.5	15.0	1.00
PP50-1.0DEP50/IB20	40.0	40.0	20.0	1.00

였는데, 폭, w에 초기 크랙을 0.20~0.80mm 변량 적용 하였다. 인장 시험은 상대습도 35%, 26°C에서 분당 50mm 인장 속도로 시험하였다. 시험중 하중 변화 그래프를 기록하여 초기점을 하중 라인에 표시하였다. 단위 두께당 크랙 성장에 필요한 에너지, ΔU_c 와 초기 크랙 길이를 도시하였다.

J_c 는 다음 식으로 표시된다. 이때 기울기는 선형 회귀법을 이용하여 구하였다.

$$J_c = \frac{-1}{B} \frac{\Delta U_c}{a} \quad (1)$$

B는 시료 두께, a는 초기 크랙 길이, U_c 는 loading line과 locus line사이의 면적을 나타낸다.

파괴 시험중 소비된 전체에너지는 에너지 손실과 크랙 성장에 공급된 에너지를 포함한다. 박리 소성 에너지 소성 변형에서 크랙 팀으로부터 박리 될 때 하중을

가한 경우 일어난다. 고유 에너지인 U_c , 전체 에너지 흡수인 U_t 관계를 이용한 여러 시험 방법이 개발되었다.⁵⁾

$\varphi = \frac{U_c}{U_t}$ 값은 박리 에너지 흡수에 민감하다고 알려져 있다. J_c 값을 알면 각 크랙 사이즈에 대한 φ 는 다음 식으로 결정 되어진다.

$$\varphi = \frac{J_c}{[U_t/B(w-a)]} \quad (2)$$

만약 크랙 초기가 일정한 변위에서 일어나고 크랙 초기점의 위치가 변위점의 수직선상에 있다면 모든 φ 값은 1이 된다. 박리 에너지 흡수는 실험적으로 결정된 J_c 값의 정확도에 영향을 주고 초기단계에서 박리 에너지 항목을 제거하면 일정한 J_c 값을 얻을 수 있다.⁴⁾

III. 결과 및 고찰

Fig. 1은 EPDM/PP 블렌드로 된(DCP 함량 0.33phr) 열가소성 가황체(TPV)에 대한 대표적인 하중-변위 결과이다. 그림에서 바(—)로 표시한 곳은 크랙 초기점을 나타낸다. locus line은 수직선상에서 약간 편차를 나타낸다. 단위 두께에 대한 ΔU_c 는 EPDM/PP 이원 블렌드나, EPDM/PP/Ionomer 삼원 블렌드 TVP에 회귀분석법에 의한 기울기로 부터 J_c 값을 얻기 위하여 각 초기 크랙 사이즈에 대하여 도시하였다.

Fig. 2는 DCP 함량이 적을 때에는(0.33phr), EPDM/PP 이원 블렌드 TPV에서 이오노머 타입에 관계없이 이오노머 양을 증가함에 따라 J_c 값이 감소됨을 나타내었다. 이 결과는 이오노머 혼입으로 전단 조건 하에서도 DCP 함량이 적은 경우 PP/EPDM 블렌드가 적은 가황으로 인성이 떨어지는 것을 의미한다. 이는 가교 결합된 EPDM/PP의 상분리를 의미하고 이오노머를 첨가해도 PP와 가교된 EPDM에 상용화하는데 도움을 주지 않은 것을 의미한다.

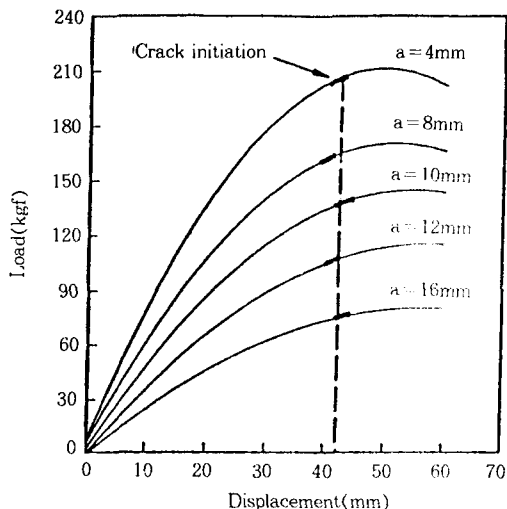


Fig. 1. Typical load-displacement curves for the dynamically vulcanized EPDM and PP binary blend(DCP content=0.33p.h.r.) : the spread bars denote the region of crack initiation points.

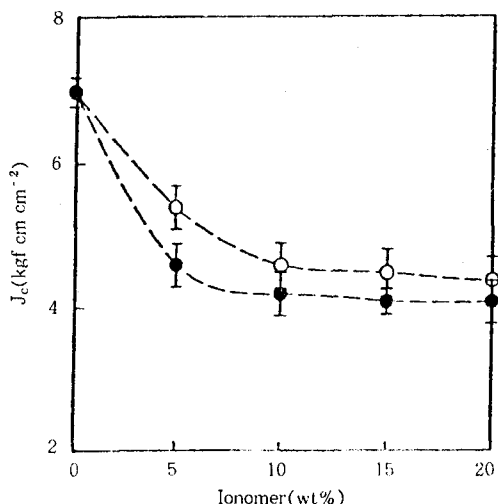


Fig. 2. Effect of the added ionomer on the fracture energy J_c in lightly vulcanized ternary blends : (○) PP50-0.33DEP50/IA, (●) PP50-0.33DEP50/IB.

Fig. 3에서는 DCP 함량이 1.0phr인 경우 동적 가황된 EPDM/PP/Ionomer 삼원 블렌드에서 이오노머 타입 및 양 변화에 대하여 J_c 변화를 나타냈다. 동적

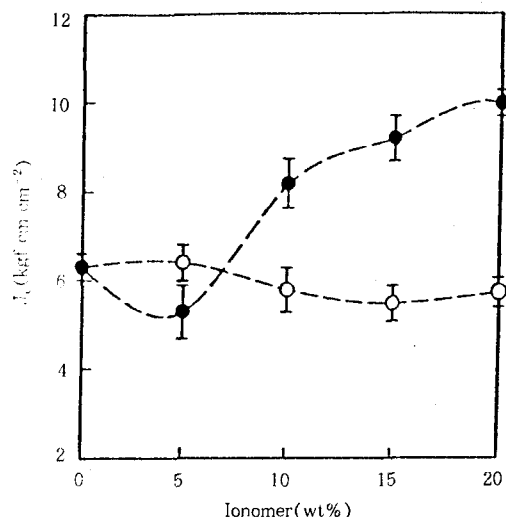


Fig. 3. Effect of the added ionomer on the fracture energy. J_c in highly vulcanized ternary blends : (○) PP50-1.0DEP50/IA, (●) PP50-1.0DEP50/IB.

가황된 EPDM/PP 블렌드에서 J_c 값은 이오노머B가 증가함에 따라 대체적으로 증가하였고, 나트륨-중화 이오노머A를 첨가할 경우에서는 크게 변화하지 않았다.

Fig. 2, 3의 결과로 다음 두 가지 중요한 사항을 제시할 수 있다.

(1) DCP 함량이 적은 경우에는 가교 결합이 적게 된 고무(EPDM 고무)상을 나타내고 블렌드는 저조한 파괴 인성을 나타낸다. DCP 함량이 많으면 열가소성 가황체에서 가교 고무상이 높으므로 TPV는 파괴 인성을 증가 시킨다.

(2) DCP 함량이 많은 경우 EPDM/PP/Ionomer 삼원 블렌드로 된 TPV에서 나트륨-중화 이오노머A 적용보다 아연-중화 이오노머B를 적용한 경우가 파괴 인성을 증가를 나타낸다.

이는 EPDM/PP/아연-중화 이오노머B를 동적 가황한 경우 정열된 열가소성 상호 침투 고분자 망상 구조(IPN)가 발달 되었기 때문이다. 나트륨-중화 이오노머A도 EPDM과 PP에 IPN를 형성 할 수 있지만,

1가인 Na^{+} 로 인하여 아연-중화 이오노머 보다 적은 확율을 갖는다. φ 값의 경향은 이오노머 A를 함유하는 삼원 블렌드가 이오노머 B를 함유하는 경우보다 케적법에 의하여 결정되는 J_c 값이 더욱 정확하나 차이는 크지 않다. 그러므로 본 연구에서는 이오노머 B를 함유하는 삼원 블렌드 J_c 값을 적용하였다. φ 값은 이오노머 타입과 DCP 함량에 관계없이 이오노머 함량이 증가하면 1로 접근한다.

이 결과는 이오노머 함량이 많은 경우가 낮은 이오노머 함량이나 이오노머 타입에 관계없이 EPDM/PP 이원 블렌드 보다, 동적 가황된 블렌드에 대한 케적법에 의하여 결정되는 J_c 값이 더욱 정확하다는 것을 의미한다.

이오노머 함량이 증가하는 경우 삼원 블렌드에서는

Table 3. Fracture energy of dynamically vulcanized EPDM and PP binary or dynamically vulcanized EPDM and PP/ionomer ternary blends

Sample	Fracture energy. $J_c(\text{kgf cm cm}^{-2})$
PP	2.90
PP50-0.33DEP50	7.00
PP50-0.33DEP50/IA5	5.40
PP50-0.33DEP50/IA10	4.30
PP50-0.33DEP50/IA15	4.50
PP50-0.33DEP50/IA20	4.40
PP50-0.33DEP50/IB5	4.60
PP50-0.33DEP50/IB10	4.50
PP50-0.33DEP50/IB15	3.80
PP50-0.33DEP50/IB20	4.10
PP50-1.0DEP50	6.30
PP50-1.0DEP50/IA5	6.40
PP50-1.0DEP50/IA10	5.80
PP50-1.0DEP50/IA15	5.50
PP50-1.0DEP50/IA20	5.75
PP50-1.0DEP50/IB5	5.30
PP50-1.0DEP50/IB10	8.20
PP50-1.0DEP50/IB15	9.20
PP50-1.0DEP50/IB20	10.00

U_r 의 일반적 경향은 0.0에 접근한다. 이는 박리 에너지 흡수 효과는 DCP양이나 이오노머 타입에 관계없이 동적 가황된 EPDM/PP/Ionomer 삼원 블렌드 TPV에서는 영향을 주지 않으며 ($U_r \approx 0.0$), 동적 가황한 EPDM/PP 이원 블렌드에서는 DCP 함량에 관계없이 영향을 준다는 것을 의미한다.

Table 3은 모든 블렌드 시료에 대한 파괴 에너지 데이터를 나타내었다. 동적 가황한 EPDM/PP 이원 블렌드나, EPDM/PP/Ionomer 삼원 블렌드가 PP 단독인 경우 보다 높은 J_c 값을 나타내고 있다. 이 결과는 PP 단독 보다는 이오노머를 적용하고 동적 가황한 경우가 인성을 증가 시킨다는 것을 의미한다.

Fig. 2, 3에서 도시한 바와 같이 DCP 함량이 클 때와 EPDM/PP/아연-중화 이오노머를 적용 동적 가황한 경우가 J_c 값이 증가 되고 높은 파괴 인성을 나타낸다.

IV. 결 론

본 시험 결과를 통하여 케적법에 의한 J-integral을 이용하여 동적 가황된 EPDM/PP/Ionomer 삼원 열가소성 가황체 블렌드의 파괴 역학을 연구한 결론은 다음과 같다.

1. EPDM/PP/Ionomer 블렌드에서 이오노머를 첨가하면서 DCP 함량을 적게 적용 동적 가황한 경우가 EPDM/PP 이원 블렌드 동적 가황한 경우보다 J_c 값은 떨어지나, PP 단독 보다는 높은 결과를 나타낸다.

2. DCP 함량을 높이면서 삼원 블렌드를 동적 가황한 경우 10wt% 이상 아연-중화 이오노머를 적용한 경우가 보다 높은 J_c 값을 나타낸다.

3. 이오노머 함유한 삼원 블렌드에서는 박리 흡수 에너지를 무시할 수 있다. 이는 케적법에 의한 J_c 값 평가가 유효하다는 것을 나타낸 것이다.

소량의 이오노머 적용과 동적 가황은 J_c 값을 증가시키며 동적 가황된 EPDM/PP 블렌드의 파괴 인성을 증가시킨다.

DCP 함량이 많고 20wt% 아연-중화 이오노머를 적용 동적 가황한 경우가 가장 우수한 효과를 나타내며 이는 열가소성 IPN 구조를 갖기 때문인 것으로 사료된다.

감사의 글

본 연구는 한국과학재단지원(No.931-1100-011-2)으로 이루어졌습니다.

참 고 문 헌

1. J. R. Rice, *J. Appl. Mech.*, **35**, 379 (1968)
2. J. A. Begley and J. D. Landes, *ASTM Spec. Tech. Publ.*, 541 (1972)
3. J. D. Landes and J. A. Begley, *ibid.*, **514**, 24 (1972)
4. B. Kim and C. R. Joe, *Polym. Test.*, **7**, 355 (1987)
5. B. Kim and C. R. Joe, *Eng. Fract. Mech.*, **32**, 225 (1989)
6. C. S. Ha, Kim and W. J. Cho, *J. Appl. Polym. Sci.*, **51**, 1381 (1994)
7. Y. Kim, W. J. Cho and C. S. Ha, *Polym. Eng. Sci.*, **35**, 20, 1592 (1995)
8. C. S. Ha and S. C. Kim *J. Appl. Polym. Sci.*, **37**, 317 (1989)
9. Y. Kim, C. S. Ha, T. K. Kang, Y. Kim and W. J. Cho, *J. Appl. Polym. Sci.*, **51**, 1453 (1994)
10. C. S. Ha, Y. S. Hur, W. J. Cho and S. C. Kim, *J. Polym. Adv. Techonol.*, **2**, 31 (1991)